

## METODOLOGIAS ESPECÍFICAS PARA A FUNCIONALIZAÇÃO DA LIGAÇÃO DUPLA 8, 9 DO LIMONENO

Marcio C.S. de Mattos

Depto. de Química Orgânica, Instituto de Química, Universidade Federal do Rio de Janeiro, 21945 Rio de Janeiro.

Depto. de Química Orgânica, Instituto de Química, Universidade Estadual do Rio de Janeiro, 20550 Rio de Janeiro.

W. Bruce Kover

Depto. de Química Orgânica, Instituto de Química, Universidade Federal do Rio de Janeiro, 21945 Rio de Janeiro.

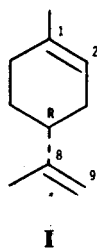
Recebido em 15/01/91

In this article addition reactions to limonene are briefly reviewed. The main subject is strategies for functionalizing the disubstituted double bond of the substrate. Thus, our results on cycloadditions of dichloroketene and nitrile oxides as well as solvomercuration reactions are good paths for functionalizing limonene chemo- and regiospecifically.

## INTRODUÇÃO

Há muitos anos se sabe que o odor de certas plantas é devido à presença de vários compostos voláteis conhecidos como óleos essenciais. Esses óleos, que podem ser obtidos diretamente das plantas através da destilação por arraste de vapor ou então por extração com solventes orgânicos, têm antigas aplicações em medicina, perfumaria, culinária e, mais recentemente, na síntese de produtos naturais mais complexos. A composição química dos óleos essenciais mostra que consistem na maior parte de hidrocarbonetos múltiplos de unidades do isopreno ( $C_5H_8$ ) com fórmulas  $C_{10}H_{16}$  (denominados terpenos) e  $C_{15}H_{24}$  (sesquiterpenos), além dos seus derivados oxigenados (principalmente álcoois, aldeídos, cetonas e lactonas).

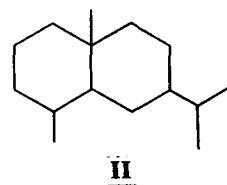
O limoneno é um dos terpenos mais comuns na natureza, encontrando-se tanto os seus dois enantiômeros quanto a mistura racêmica em certas plantas.<sup>1</sup> O R- (+) -limoneno I (que é o enantiômero mais abundante) está presente nos óleos de limão, de laranja e de outras frutas cítricas. Já a forma levógira é encontrada na hortelã-pimenta, enquanto que a mistura racêmica está presente no óleo de terebintina.<sup>2</sup>



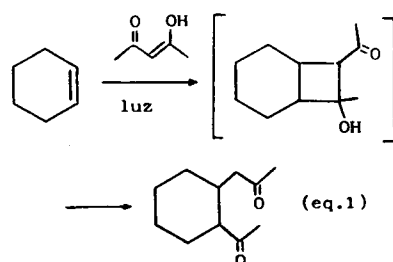
A produção industrial brasileira de R- (+) -limoneno (que durante esse artigo será chamado simplesmente de limoneno) é de quase 40.000 t/ano.<sup>1</sup> Assim, a sua abundância e o custo baixo o tornam uma matéria-prima nacional adequada para estudos químicos. Além disso, devido a sua fácil obtenção (pode ser extraído da casca da laranja com 95% de pureza enantiomérica<sup>1</sup>) e por possuir duas ligações duplas quimicamente diferentes (a anelar 1, 2 e a acíclica 8, 9), já há alguns anos estudamos, basicamente, o aproveitamento sintético do limoneno e derivados.<sup>3</sup>

## REAÇÕES NÃO ESPECÍFICAS DE ADIÇÃO ÀS LIGAÇÕES DUPLAS DO LIMONENO

Dentre as nossas propostas para o aproveitamento sintético do limoneno está a preparação de estruturas da família dos eudesmanos II, sesquiterpenos bastante encontrados na natureza e de interesse farmacológico, pois muitos apresentam atividades biológicas e propriedades organolépticas (aroma e sabor).<sup>4</sup> Como metodologia para a síntese de estruturas eu-

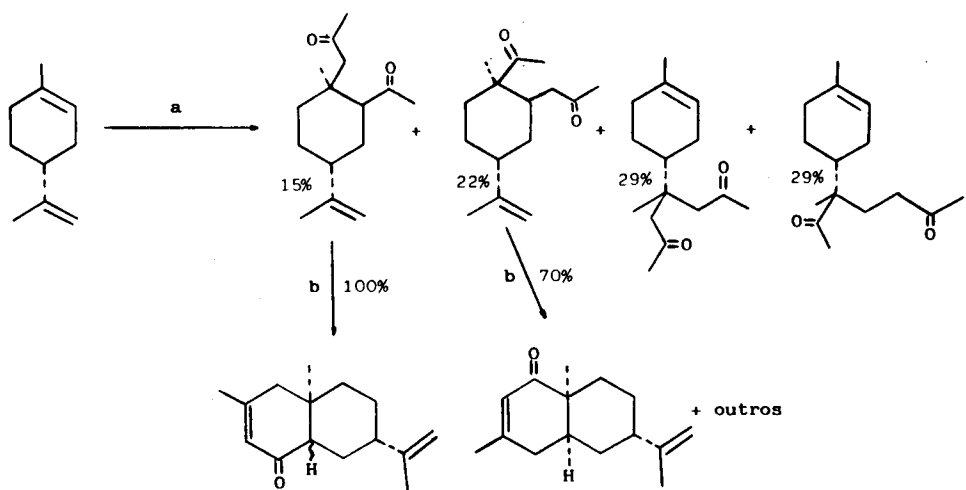


desmânicas, propusemos a ciclização de dionas obtidas na reação de De Mayo (foto-adição de acetil-acetona enolizada a olefinas, eq. 1<sup>5</sup>). Entretanto, com a utilização do limoneno como substrato, essa metodologia teve sua eficiência reduzida



pelo fato de ter sido obtida uma mistura de produtos de foto-adição de acetil-acetona às duas ligações duplas do substrato, com predominância da adição à ligação dupla acíclica.<sup>3a</sup> A ciclização em alumina básica dos produtos de foto-adição à ligação dupla anelar forneceu as estruturas eudesmânicas desejadas, o que não seria possível com a ciclização dos produtos de foto-adição à ligação dupla 8, 9.<sup>6</sup> (Esquema 1).

**ESQUEMA 1<sup>3a</sup>**

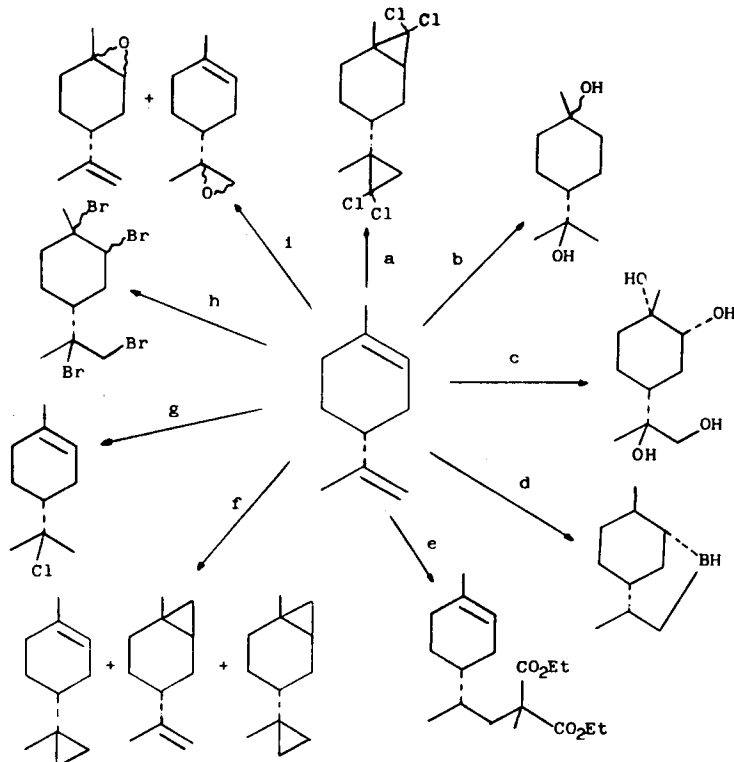


a:  $\text{CH}_3\text{C}(\text{O})\text{CH}=\text{C}(\text{OH})\text{CH}_3$ /ciclo-hexano/luz; b:  $\text{Al}_2\text{O}_3$ /decalina/refluxo

O Esquema 2 mostra que não são muitos os exemplos de reações não radicalares<sup>7</sup> que ocorrem especificamente na ligação dupla acíclica do limoneno. Muitas vezes a reação ocorre nas duas ligações duplas de uma mesma molécula (por ex. hidratação em meio ácido, bromação) ou então se obtêm mis-

turas de produtos com adição nas ligações duplas 1, 2 ou 8, 9 (no caso da epoxidação), sendo que, em outros casos, não há diferença entre a reatividade das duas ligações duplas (adição de carbenóide).

**ESQUEMA 2**



a:  $\text{CHCl}_3/\text{NaOH}/\text{H}_2\text{O}$ ; b:  $\text{H}_3\text{O}^+$ ; c:  $\text{H}_2\text{O}/\text{OsO}_4$ ; d:  $\text{BH}_3$ ,  $\text{THF}$ ; e:  $\text{O}=\text{C}(\text{CO}_2\text{Et})_2/\text{ZnCl}_2$ ; f:  $\text{CH}_2\text{I}_2/\text{luz}$ ; g:  $\text{HCl}(\text{g})$ ; h:  $\text{Br}_2$ ; i:  $[\text{O}]^{16}$

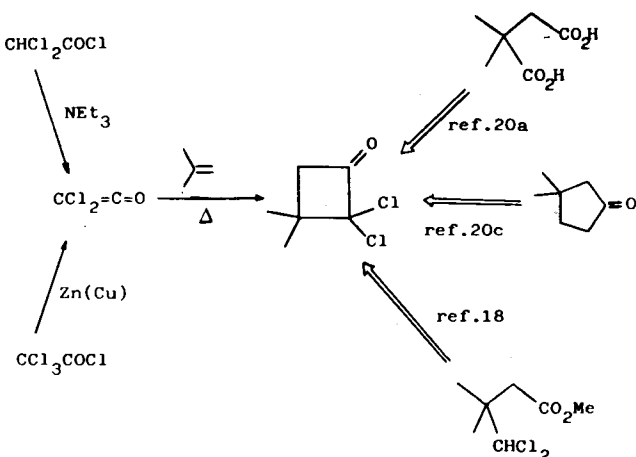
Assim, surgiu a idéia de se procurar um reagente que apresentasse um alto grau de seletividade para a ligação dupla acíclica do limoneno, baseando-se em dois fatores: (i) menor transferência de elétrons do limoneno para o reagente no estado de transição, já que a ligação dupla anelar deve ser a mais rica em elétrons e, (ii) maior tamanho do reagente, já que a ligação dupla anelar é a mais impedida estericamente.

Além disso, esse reagente também deve ser de fácil remoção para poder servir, eventualmente, como grupo protetor para a ligação dupla acíclica, visando a possíveis sínteses de estruturas eudesmânicas.

### CICLO-ADIÇÃO DO DICLORO-CETENO AO LIMONENO

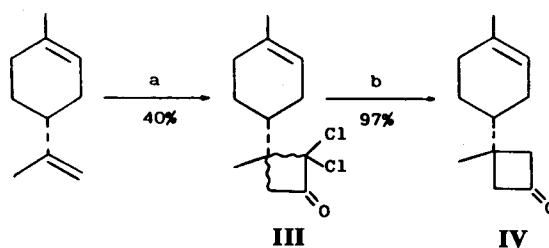
Para o início dos estudos, pensou-se em estudar a ciclo-adição térmica [2 + 2] de cetonos a olefinas, pois é sabido que essas reações são muito sensíveis ao ambiente estérico da ligação dupla<sup>17</sup> o que poderia levar a uma maior seletividade para a ligação dupla 8, 9 do limoneno (a menos impedida estericamente). Optou-se em utilizar o dicloro-ceteno, um ceteno muito mais reativo do que os aril- e alquil-cetonos e facilmente gerado *in situ* a partir de matérias-primas comerciais como os cloreto de dicloro- e tricloro-acetila.<sup>18</sup> Além disso, a reação de ciclo-adição de cetonos a olefinas tem regioquímica previsível<sup>19</sup> e as  $\alpha, \alpha$ -dicloro-ciclo-butanonas formadas podem ser consideradas como potenciais intermediários para síntese orgânica<sup>20</sup> (Esquema 3).

ESQUEMA 3

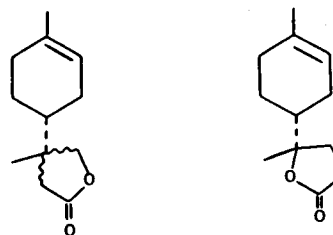


O dicloro-ceteno foi gerado *in situ* a partir do cloreto de dicloro-acetila e trietilamina em presença de excesso de limoneno. Foi verificado que a reação de ciclo-adição ocorreu de maneira químico e regiosseletiva na ligação dupla 8, 9 do substrato, formando as duas dicloro-ciclo-butanonas diaestereoisoquímicas III<sup>3b,21</sup>. Essas cetonas tiveram suas estruturas elucidadas pela redução das ligações C-Cl por zinco em ácido acético, formando uma única ciclobutanona IV<sup>3b</sup> (Esquema 4).

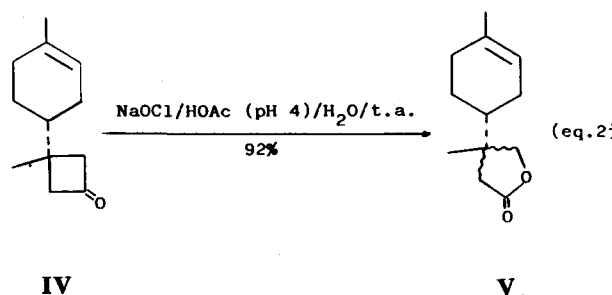
ESQUEMA 4



Visando ao aproveitamento sintético da reação de ciclo-adição do dicloro-ceteno ao limoneno, resolveu-se preparar as lactonas V, que são análogas ao produto natural norbisabolídeo VI, isolado pela primeira vez em 1975 por pesquisadores indianos.<sup>22</sup>

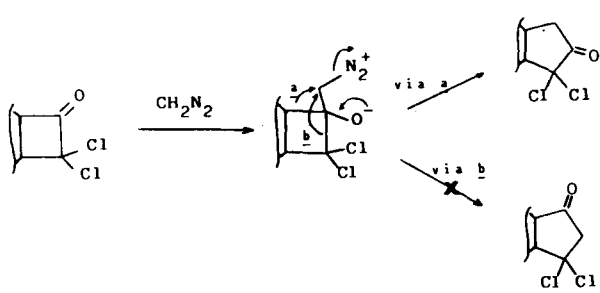


Assim, a oxidação de Baeyer-Villiger (formação de ésteres e lactonas a partir de cetonas) da ciclo-butanona IV com hipoclorito em meio ácido forneceu as duas lactonas diaestereoisoquímicas V desejadas<sup>3b</sup> (eq. 2).



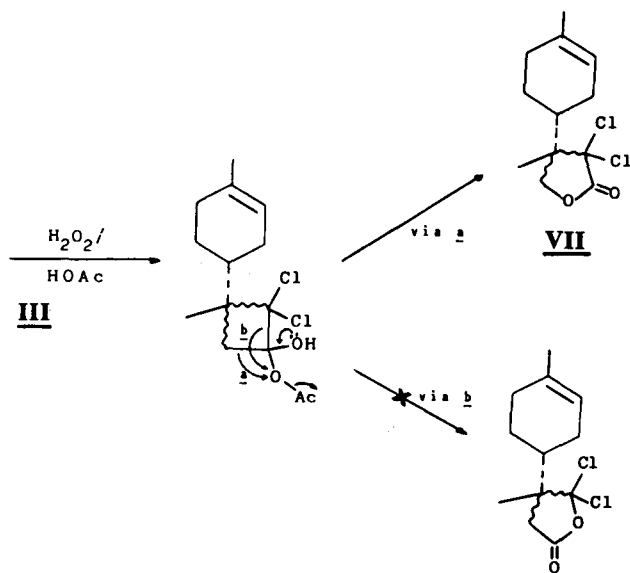
Está descrito na literatura que os átomos de cloro, bastante eletronegativos, influenciam a aptidão migratória da ligação C-C vizinha à carbonila em reações de expansão de anel. Como consequência, a expansão de anel de  $\alpha, \alpha$ -dicloro-ciclobutanonas com diazo-metano às ciclo-pentanonas correspondentes ocorre de modo altamente regiosseletivo com a migração da ligação do C- $\alpha'$  (oposto ao carbono que contém os átomos de cloro), que é o mais rico em elétrons<sup>23</sup> (como mostrado na via  $\alpha$  do Esquema 5).

ESQUEMA 523



Foi então estudada uma reação análoga a essa que é a Baeyer-Villiger das dicloro-ciclo-butanonas III para se verificar se, nesse caso, a lactonização também é altamente regiosseletiva. Assim, a reação de III com  $H_2O_2$  em ácido acético forneceu regiospecificamente as duas dicloro-lactonas diaestereoisoméricas VII, só sendo encontrados os produtos provenientes da inserção do átomo de oxigênio entre a carbonila e o C- $\alpha'$  (que não contém os átomos de cloro)<sup>24</sup>. Esse fato indica que, de maneira análoga à reação com diazo-metano, na reação de Baeyer-Villiger de  $\alpha,\alpha$ -dicloro-ciclo-butanonas ocorre exclusivamente a migração da ligação C-C oposta ao C- $\alpha$  para o oxigênio, como mostrado na via a do Esquema 6.

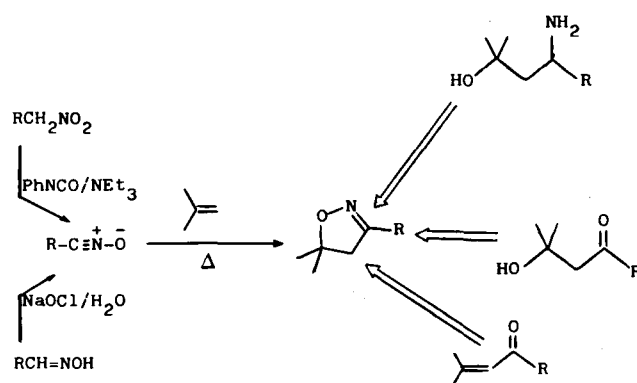
ESQUEMA 6



### CICLO-ADIÇÃO DE ÓXIDOS DE NITRILA AO LIMONENO

Com os resultados obtidos na ciclo-adição do dicloro-ceteno ao limoneno, passou-se a estudar a reação de ciclo-adição de óxidos de nitrila a esse substrato. Os óxidos de nitrila geralmente são formados *in situ* a partir de aldoximas ou nitro-alcanos primários e fazem ciclo-adição 1, 3-dipolar a olefinas.<sup>25</sup> A regioquímica dessa ciclo-adição também é previsível<sup>26</sup> e as isoxazolininas formadas vêm despertando o interesse de muitos químicos orgânicos sintéticos, principalmente para a preparação de produtos naturais<sup>27, 28a</sup>

ESQUEMA 725, 27



A ciclo-adição do óxido de acetonitrila ao limoneno foi feita por Clapp *et al.*, que isolaram as duas isoxazolininas diaestereoisoméricas VIIIa em 49% de rendimento.<sup>28b</sup> Como não era de nosso conhecimento qualquer trabalho sobre a adição de outros óxidos de nitrila a esse substrato, passamos então a estudar essa reação utilizando óxidos de nitrila com diferentes graus de substituição.<sup>3d</sup> Assim, foram obtidas as isoxazolininas VIIIa-j em 40-81% de rendimento isolado, verificando-se, mais uma vez, que as reações eram químico e regiospecíficas na ligação dupla 8, 9 do limoneno. Já num artigo muito recente, um grupo de pesquisa dinamarquesa relatou a ciclo-adição do óxido de senecionitrila ao limoneno, isolando as isoxazolininas VIIIk em 64% de rendimento<sup>28a</sup> (eq. 3 e Tabela I).

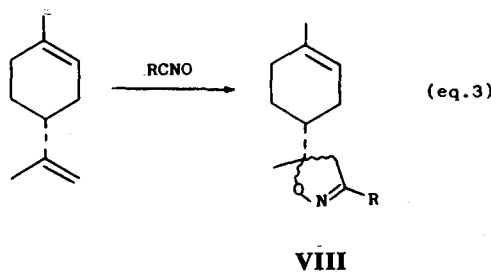


Tabela I – Ciclo-adição de óxidos de nitrila ao limoneno de acordo com a eq. 3.

ENTRADA	R	MÉTODO	VIII (%)
a	Me	A	49, <sup>28b</sup> 75 <sup>3d</sup>
b	Et	A	70 <sup>3d</sup>
c	i-Pr	B	40
d	Bu	B	73 <sup>3d</sup>
e	s-Bu	B	79
f	i-Bu	B	81
g	$CH_3CH=CH$	B	79 <sup>3d</sup>
h	ciclo-hexil	B	79
i	Ph	B	47 <sup>3d</sup>
j	2-naftil	B	64
k	$(CH_3)_2C=CH$	C	64 <sup>28b</sup>

Métodos: A:  $RCH_2NO_2/PhNCO/NEt_3/PhMe/80^\circ C$

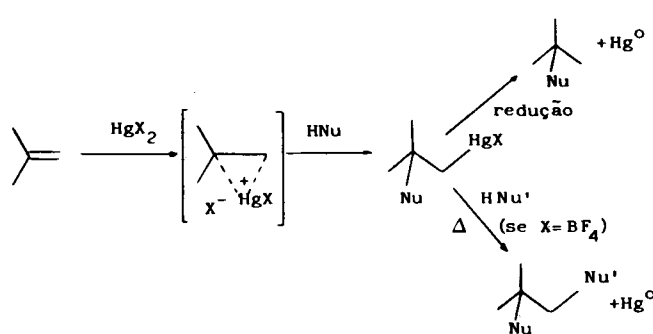
B:  $RCH=NOH/NaOCl/H_2O/CH_2Cl_2/t.a.$

C:  $RCH=NOH/t-BuOCl/KHCO_3/EtOAc/t.a.$

## REAÇÕES DE SOLVO-MERCURIAÇÃO DO LIMONENO

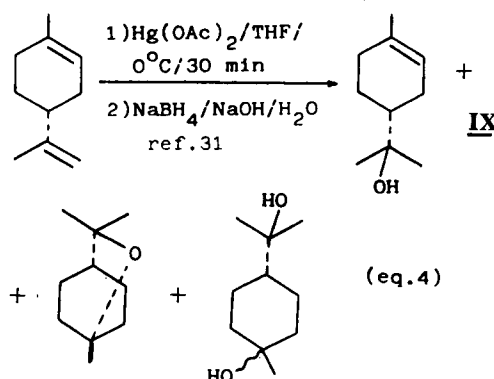
As reações de solvo-mercuriação são uma maneira indireta de se adicionar um nucleófilo com orientação Markovnikoff a

ESQUEMA 8



um sistema desativado (por exemplo uma olefina) em presença de sais de mercúrio (II).<sup>29</sup> O organo-mercúrio assim obtido pode ser reduzido ou então, se o contra-fon do mercúrio for um grupo fortemente eletroatraente (como o  $\text{BF}_4^-$ ), pode ocorrer uma substituição nucleofílica sobre o carbono que o contém, o que leva à formação de  $\text{Hg}^0$  e à consequente difuncionalização da olefina<sup>30</sup> (Esquema 8).

Como a mercuriação passa por um ataque eletrofílico do mercúrio (um átomo volumoso) sobre o sistema  $\pi$  da olefina, pensou-se que deveria haver uma forte seletividade para a ligação dupla 8, 9 do limoneno, já que esta é a menos impedida estericamente. H.C. Brown *et al.* estudaram a mercuriação do limoneno com  $\text{Hg}(\text{OAc})_2$  em THF aquoso a  $0^\circ\text{C}$  e obtiveram, após a redução do organo-mercúrio, predominantemente  $\alpha$ -terpineol **IX**, além de uma mistura de dióis e um éter bicíclico (cineol)<sup>31</sup> – eq. 4.



Variando-se as condições visando apenas à reação na ligação dupla acíclica, foi estudada a mercuriação do limoneno com  $\text{Hg}(\text{BF}_4)_2$  (um sal muito mais iônico do que o  $\text{Hg}(\text{OAc})_2$ ) em presença de vários nucleófilos, a  $-20^\circ\text{C}$ . Após a redução dos organo-mercúrios intermediários, foram obtidos somente os produtos **X**, indicando que a mercuriação é

quimioseletiva na ligação dupla 8, 9 do limoneno e que o nucleófilo entra de maneira regioseletiva no C-8<sup>3c</sup> (eq. 5 e Tabela II).

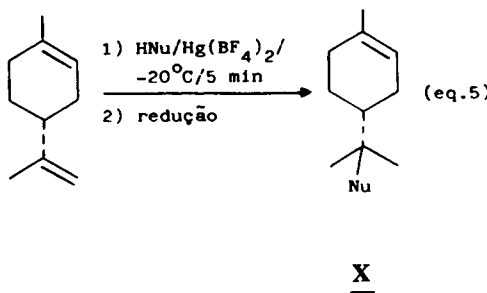
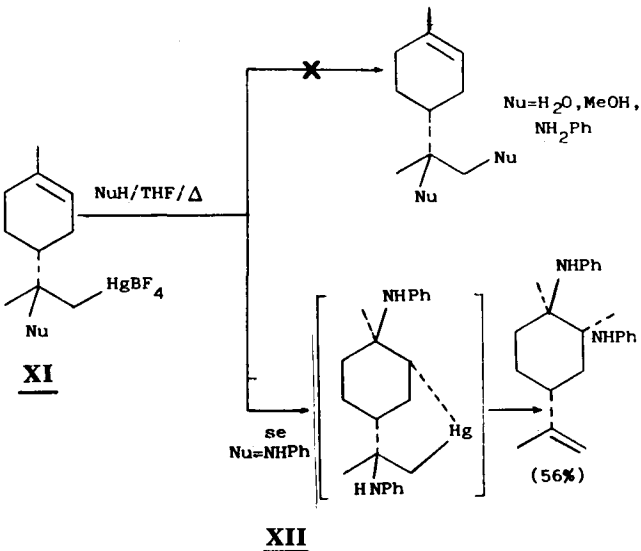


Tabela II – Adição de nucleófilos (Nu) ao limoneno em presença de  $\text{Hg}(\text{BF}_4)_2$  de acordo com a eq. 5.

Nu	REDUÇÃO DO ORGANO-MERCÚRIO	X (%)
OH	$\text{NaBH}_4/\text{NaOH}/\text{H}_2\text{O}/\text{t.a.}$	84
OMe	$\text{NaBH}_4/\text{NaOH}/\text{H}_2\text{O}/\text{t.a.}$	86
NHPh	1) $\text{Li}/-78^\circ\text{C}; 2) \text{MeOH}/-78^\circ\text{C} \rightarrow \text{t.a.}$	54

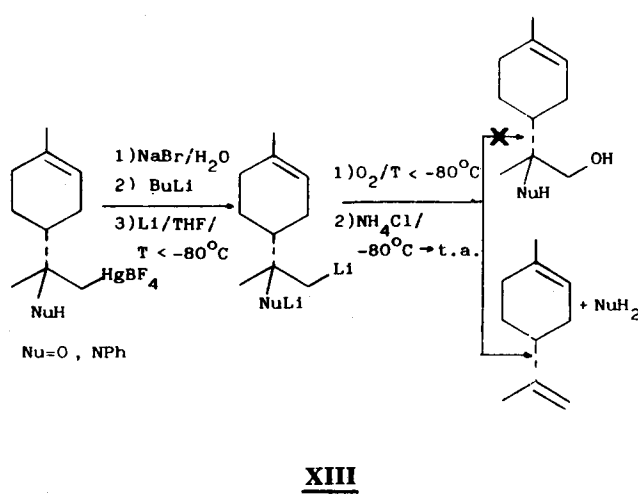
Como a redução do organo-mercúrio fornecia um único produto, tinha-se um claro indício que havia a formação do intermediário **XI**. Entretanto, quando se tentou fazer a difuncionalização do limoneno através do refluxo em THF do organo-mercúrio intermediário em presença de nucleófilos como água e metanol, obtiveram-se somente produtos aromáticos.<sup>32</sup> Já com a utilização de anilina como nucleófilo, foi obtida, supreendentemente, não a diamina 8, 9 como esperado, mas a diamina 1, 2 em 56% de rendimento,<sup>33</sup> tendo-se evidências que essa reação passa pelo dialquil-mercúrio **XII**<sup>34</sup> (Esquema 9).

ESQUEMA 9



Devido à pequena diferença de eletronegatividade entre o carbono e o mercúrio, um carbono ligado a ele não é nucleofílico e uma maneira de torná-lo é através da transmetalização do grupo  $HgX$  por  $Li$  a baixas temperaturas.<sup>35</sup> Tentou-se a difuncionalização do organo-mercúrio derivado do limoneno pelo seu tratamento com  $NaBr$  (para a troca do ligante do mercúrio, o que facilita o seu isolamento e secagem para reações via carbânioms<sup>36</sup>) seguido do tratamento com  $BuLi$ , excesso de lítio em pó e finalmente a adição do eletrófilo<sup>35</sup> (no caso foi empregado oxigênio que, após o isolamento, deveria fornecer um grupo  $OH$  onde antes havia o  $HgBr$ ). Infelizmente, esse procedimento somente levou à recuperação de limoneno, indicando que o diânon **XIII** formado é muito instável e sofre eliminação- $\beta$  com extrema facilidade, mesmo a temperaturas da ordem de  $-110^{\circ}C$ <sup>32</sup> (Esquema 10).

ESQUEMA 10



## CONCLUSÕES

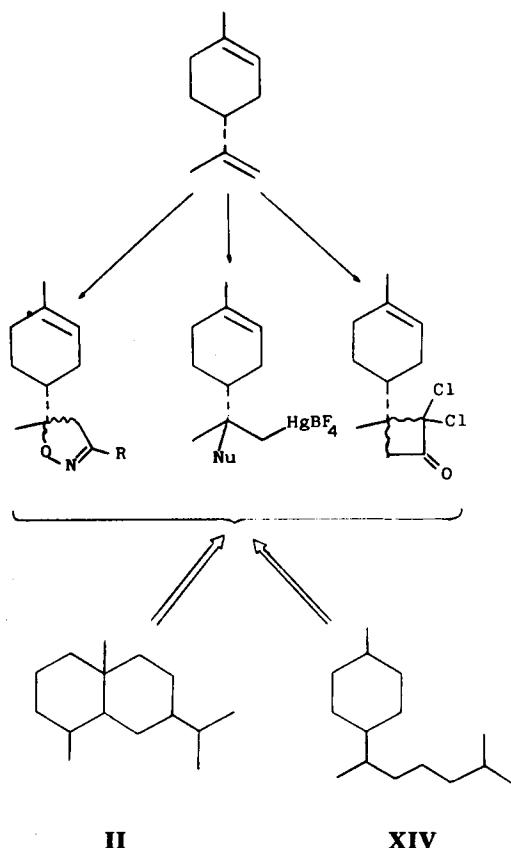
Tanto as reações de ciclo-adição (dicloro-ceteno e óxidos de nitrila<sup>37</sup>) quanto as reações de solvo-mercuriação são químico e regiossepecíficas na ligação dupla 8, 9 do limoneno. Assim, a partir de algumas manipulações químicas não muito complicadas, elas podem servir como grupos bloqueadores para aquela ligação dupla, visando à síntese de estruturas eudermânicas **II**. Além disso, devido à especificidade observada, elas podem servir como via de entrada para estruturas da série dos sesquiterpenos bisabolapós **XIV** (Esquema 11).

Entretanto, talvez a conclusão mais importante desse trabalho seja a de que o limoneno é uma das matérias-primas quirais mais baratas existentes, sendo adequada para se fazer síntese orgânica no Brasil.

## AGRADECIMENTOS

Os autores agradecem ao CNPq e ao CEPG-UFRJ pelo apoio financeiro. MCSM agradece ao programa RHAE da SCT pela bolsa de estudos concedida e aos Professores José Barluenga e Fernando Aznar, do Departamento de Química Organometálica da Universidad de Oviedo, pela orientação durante o estágio ali realizado.

ESQUEMA 11



## REFERÊNCIAS E NOTAS

- Para uma excelente revisão recente sobre a química do limoneno, veja: Thomas, A.F.; Besière, Y.; *Nat. Prod. Rep.* (1989), 291.
- Finar, I.L.; "Organic Chemistry" vol. 2, Longman, Londres (1975), 375.
- a) Holleben, M.L.A.; Ferreira, A.B.; Kover, W.B.; "Foto-adição de Acetilacetona a Limoneno", 32<sup>a</sup> Reunião Anual da SBPC, Rio de Janeiro (1980).  
b) De Mattos, M.C.S.; Kover, W.B.; "Aproveitamento Sintético da Reação entre Limoneno e Dicloroceteno"; 39<sup>a</sup> Reunião Anual da SBPC (1987).  
c) Pinto, A.C.; Abla, M.A.; Ribeiro, N.; Pereira, A.L.; Kover, W.B.; Aguiar, A.P.; *J. Chem. Res. (S)* (1988), 88; *J. Chem. Res. (M)* (1988), 1001.  
d) De Mattos, M.C.S.; Kover, W.B.; "Ciclo-adição de Óxidos de Nitrila ao Limoneno", 13<sup>a</sup> Reunião Anual da SBQ, Caxambu (1990).  
e) De Mattos, M.C.S.; Kover, W.B.; Aznar, F.; Barluenga, J.; "Solvomercuration-Demercuration of Limonene", 4<sup>th</sup> Brazilian Meeting on Organic Synthesis, Teresópolis (1990).
- Por exemplo: Haynes, J.L.; *Quart. Rev.* (1948), 2, 46. Asakawa, M.; Matsuda, R.; Toyota, M.; Hattori, S.; Ourisson, G.; *Phytochemistry* (1981), 20, 2187. Nogami, M.; Mariurta, T.; Kubo, M.; Tani, T.; *Chem. Pharm. Bull.* (1986), 9, 3854. Kalsi, P.S.; Singh, O.S.; Chabra, B.R.; *Phytochemistry* (1978), 17, 576. Ohta, Y.; Andersen, N.H.; Liu, C.B.; *Tetrahedron* (1977), 36, 617. Rodrigues, E.; Towers, G.H.N.; Mitchell, J.C.; *Phytochemistry* (1976), 15, 1573.
- De Mayo, P.; Takeshita, H.; *Can. J. Chem.* (1963), 41, 440.
- Kover, W.B.; Jones Jr., J.; Aguiar, A.P.; Holleben, M.L.A.; *Tetrahedron* (1987), 43, 3199; Holleben, M.L.A.; Tese de Doutoramento, Instituto de Química, UFRJ (1985).

7. A adição de radicais ao limoneno ocorre especificamente na sua ligação dupla acíclica. Por exemplo: Israelashvili, S.; Diamant, E.; *J. Am. Chem. Soc.* (1952), **74**, 3185.  
 Baldwin, J.E.; Adlington, R.M.; Ichikawa, Y.; Kneale, C.J.; *J. Chem. Soc. Chem. Comm.* (1988), 702.  
 Gardrat, C.; *Synth. Comm.* (1984), **14**, 1191.
8. Julia, S.; Ginebreda, A.; *Synthesis* (1977), 682.
9. Lombard, R.; Geiger, E.; *Bull. Soc. Chim. Fr.* (1956), 1564.
10. Milas, N.A.; Sussman, S.; *J. Am. Chem. Soc.* (1937), **59**, 2345.
11. Brown, H.C.; Pfaffemberger, L.D.; *Tetrahedron* (1975), **31**, 925.
12. Salomon, M.F.; Pardo, S.N.; Salomon, R.G.; *J. Org. Chem.* (1985), **49**, 2446.
13. Kropf, P.J.; Pienta, N.J.; Sawyer, J.A.; Polniaszek, R.P.; *Tetrahedron* (1981), **37**, 925.
14. Muraleedharan, N.V.; Verghese, J.; *Curr. Sci.* (1970), **40**, 152.
15. Husstedt, U.; Schäffer, H.J.; *Synthesis* (1972), 966.
16. A epoxidação com perácidos leva, principalmente, à mistura dos epóxidos anelares: Kergomard, A.; Veschambre, H.; *Tetrahedron* (1977), **33**, 2215.  
 Entretanto, a epoxidação com  $H_2O_2$  catalisada com um complexo porfirina-manganês apresenta uma seletividade não muito alta para a ligação dupla 8, 9 : Suslick, K.S.; Cook, R.B.; *J. Chem. Soc. Chem. Comm.* (1987), 200.
17. Erden, I.; *Tetrahedron Lett.* (1984), **25**, 1535.
18. Brady, W.T.; *Tetrahedron* (1981), **37**, 2949.  
 Ghosez, L.; Montaigne, R.; Roussel, A.; Vanlierde, H.; Mollet, P.; *Tetrahedron* (1971), **27**, 615.
19. Na ciclo-adiação do dicloro-ceteno a olefinas assimétricas, a regioquímica da dicloro-ciclo-butanona formada é aquela onde o carbono do ceteno com os átomos de cloro fica adjacente ao carbono mais substituído da olefina: Hassner, A.; Cory, R.M.; Sartoris, N.; *J. Am. Chem. Soc.* (1976), **98**, 7698.
20. a) Greene, A.E.; Deprés, J.P.; *J. Org. Chem.* (1980), **45**, 2036.  
 b) Greene, A.E.; Lansard, J.-P.; Luche, J.-L.; Petrier, C.; *J. Org. Chem.* (1984), **49**, 931.  
 c) Deprés, J.-P.; Coelho, F.; Greene, A.E.; *J. Org. Chem.* (1985), **50**, 1972.  
 d) Para uma revisão sobre a química de ciclo-butanonas veja: Bellus, D.; Ernest, B.; *Ang. Chem. Int. Ed. Engl.* (1988), **27**, 797.
21. Mehta, G.; Rao, H.S.P.; *Synth. Comm.* (1985), **15**, 991, onde foi estudada a ciclo-adiação do dicloro-ceteno a várias olefinas (inclusive o limoneno) sob a influência de ultra-som e a determinação da estrutura de III foi feita exclusivamente por métodos físicos.
22. Shringapure, J.D.; Sabata, B.K.; *Ind. J. Chem.* (1975), **13**, 24.
23. Greene, A.E.; Deprés, J.-P.; *J. Am. Chem. Soc.* (1979), **101**, 4003.
24. De Mattos, M.C.S.; Kover, W.B.; "Oxidação de Baeyer-Villiger de  $\alpha$ ,  $\alpha$ -dicloro-ciclo-butanonas", *40º Reunião Anual da SBPC*, São Paulo (1988).
25. Kanemasa, S.; Tsuge, O.; *Heterocycles* (1990), **30**, 719.
26. Na ciclo-adiação de óxidos de nitrila a olefinas assimétricas, a regioquímica da isoxazolina formada é aquela onde o oxigênio do óxido de nitrila fica adjacente ao carbono mais substituído da olefina: Houk, K.N.; *Acc. Chem. Res.* (1975), **8**, 361. Fleming, I.; "Frontier Orbitals and Organic Chemical Reactions", John Wiley and Sons, Nova York (1976).
27. Por exemplo: Kozikowski, A.P.; *Acc. Chem. Res.* (1984), **17**, 410. Confalone, P.N.; Lollar, E.D.; Pizzolato, G.; Uskokovic, M.R.; *J. Am. Chem. Soc.* (1978), **100**, 6291.  
 Mukerjee, S.K.; Sharma, K.K.; Torsell, K.G.; *Tetrahedron* (1983), **39**, 2231.
28. a) Isager, P.; Thomsen, I.B.; Torsell, K.B.G.; *Acta Chem. Scand.* (1990), **44**, 806.  
 b) Shine, C.-Y.; Lawler, R.G.; Clapp, L.B.; *J. Org. Chem.* (1976), **41**, 2210.
29. Larock, R.C.; "Solvomercuration Reactions in Organic Synthesis", Springer Verlag, Nova York (1986).
30. Barluenga, J.; Cires, L.A.; Campos, P.J.; Asensio, G.; *Tetrahedron* (1984), **40**, 2563. Barluenga, J.; Cires, L.A.; Asensio, G.; *Synthesis* (1979), 962.
31. Brown, H.C.; Georghegen Jr., P.J.; Lynch, G.J.; Kurek, J.T.; *J. Org. Chem.* (1972), **37**, 1941.
32. Barluenga, J.; de Mattos, M.C.S.; Kover, W.B.; Aznar, F.; resultados não publicados.
33. Barluenga, J.; Aznar, F.; de Mattos, M.C.S.; Kover, W.B.; García-Granda, S.; Pérez-Carreño, E.; *J. Org. Chem.* (1991), **56**, 2930.
34. De Mattos, M.C.S.; Kover, W.B.; Aznar, F.; Barluenga, J.; "Diamino-mercurião Oxidativa do Limoneno: Investigação do Mecanismo de Reação", *13º Reunião Anual da SBQ*, Caxambu (1990).
35. Barluenga, J.; Fananas, F.; Yus, M.; *J. Org. Chem.* (1979), **44**, 4798.
36. Ara, A.M.; Tesina de Licenciatura, Facultad de Ciencias, Universidad de Zaragoza (1973).
37. Também a adição 1,3-dipolar de benzil-azida ao limoneno é químico e regiosseletiva na ligação dupla 8,9 do substrato: de Oliveira, D.F.; Kover, W.B.; "Síntese do 9-(benzil-amino)-8,9-Diodro-Limoneno a Partir de Limoneno e Benzilazida", *13º Reunião Anual da SBQ*, Caxambu (1990).